



基部付近のコンクリート表面にはひび割れが発生し始める。

(3) ゴム引張距離60cm以降は、応答加速度は柱の損傷により固有周期が長くなるため応答率は減少し台車の入力加速度約2000galに対して応答加速度約1200galとなる。

(4) このとき、補強区間内の段落とし位置での鉄筋ひずみは3000 $\mu$ 程度となり、アラミドテープの水平方向にひび割れが発生する。(繊維方向と同一方向)

(5) 更に、柱基部の鉄筋ひずみは7000 $\mu$ を越えほぼ終局状態にあり、基部付近ではひび割れ本数が増加し、柱に2~3cmの残留変位が生じる。

・図-3に補強タイプ1、補強タイプ2、無補強タイプの損傷図を示す。

・図-4に補強タイプ1のゴム引張距離L=40cmのときの鉄筋ひずみを示す。又、図-5に無補強タイプのL=40cmにおける鉄筋ひずみを示す。R-Uは段落とし位置の鉄筋ひずみ、R-Dは柱基部の鉄筋ひずみを示す。

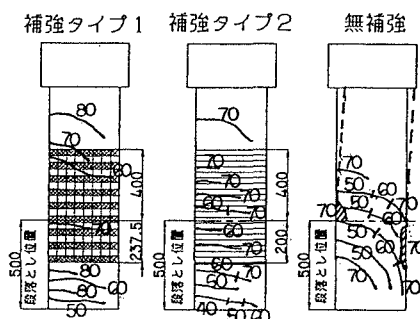


図-3 損傷図

### 3. 2 荷重と変位の関係

図-6に示すように、無補強タイプ、補強タイプ1、補強タイプ2の荷重-変位図は、荷重の値はフィルター処理した加速度にウェートの質量10tfを乗じた力を衝撃荷重として評価し、最大応答変位との関係を求めたものであり、ゴム引張距離毎にプロットした点を結んだラインである。又、参考値として無補強タイプにおける静的水平交番実験の結果と、保有水平耐力の計算値を示す。

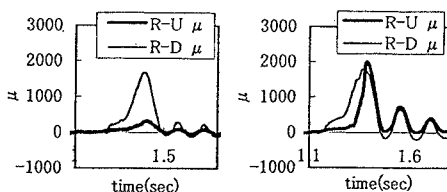


図-4 補強タイプ1の鉄筋ひずみ

図-5 無補強タイプの鉄筋ひずみ

### 4. まとめ

(1) 破壊形態を考えると、無補強タイプは、鉄筋の段落とし位置付近に曲げ方向からせん断方向に移行するクラックが顕著であった。これに対し、補強タイプは、柱全体的にクラックが生じ、クラックの方向は曲げ方向が顕著であり、せん断方向への移行は少ない結果となった。これは繊維テープによる拘束効果により、じん性の向上、せん断耐力の向上があったものとする。

(2) 鉄筋のひずみを考えると、無補強タイプと補強タイプの鉄筋ひずみは、ゴム引張距離L=40cmを比較すると、鉄筋段落とし位置において無補強タイプが約2000 $\mu$ に対し、補強タイプは500 $\mu$ 弱となり、繊維テープの補強効果が現れていると思われる。

(3) P- $\delta$  曲線を考えると、本実験の補強方法は、補強タイプ1では、アラミドテープの水平帯巻きによる拘束効果により、じん性が向上したと考えられ変位が無補強に比べ大きくなった。又、縦面のカーボンテープ張りにより曲げ耐力が向上したと考えられ、荷重値が2割程度大きくなった。補強タイプ2については、水平方向のみのアラミド張りのため、じん性の向上により変位は大きくなったが、曲げ耐力については大きな違いはなかった。

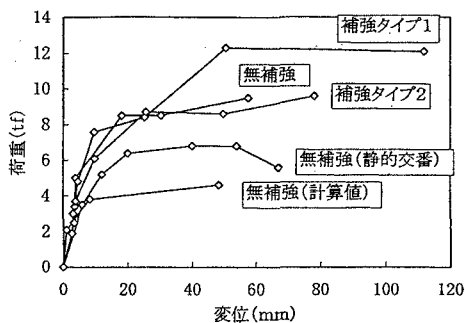


図-6 P- $\delta$  曲線